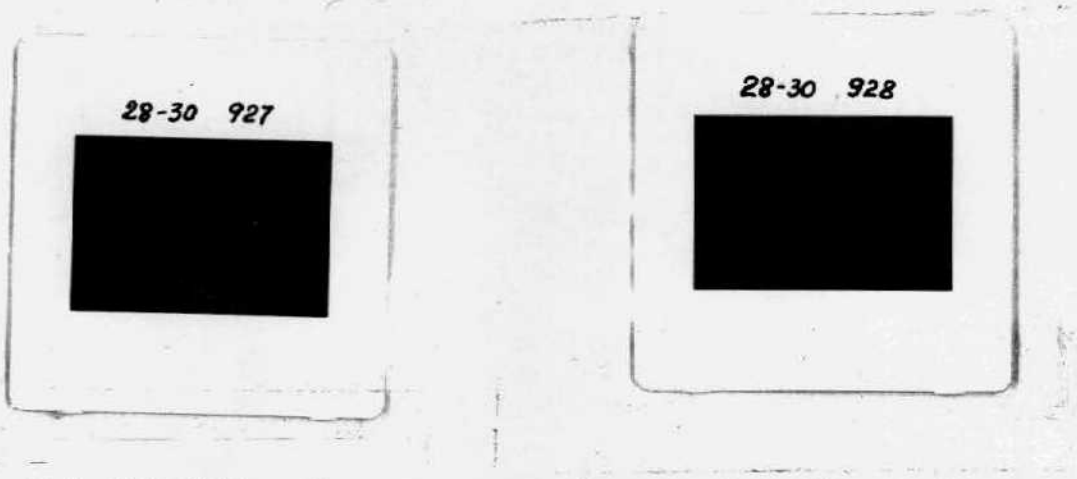
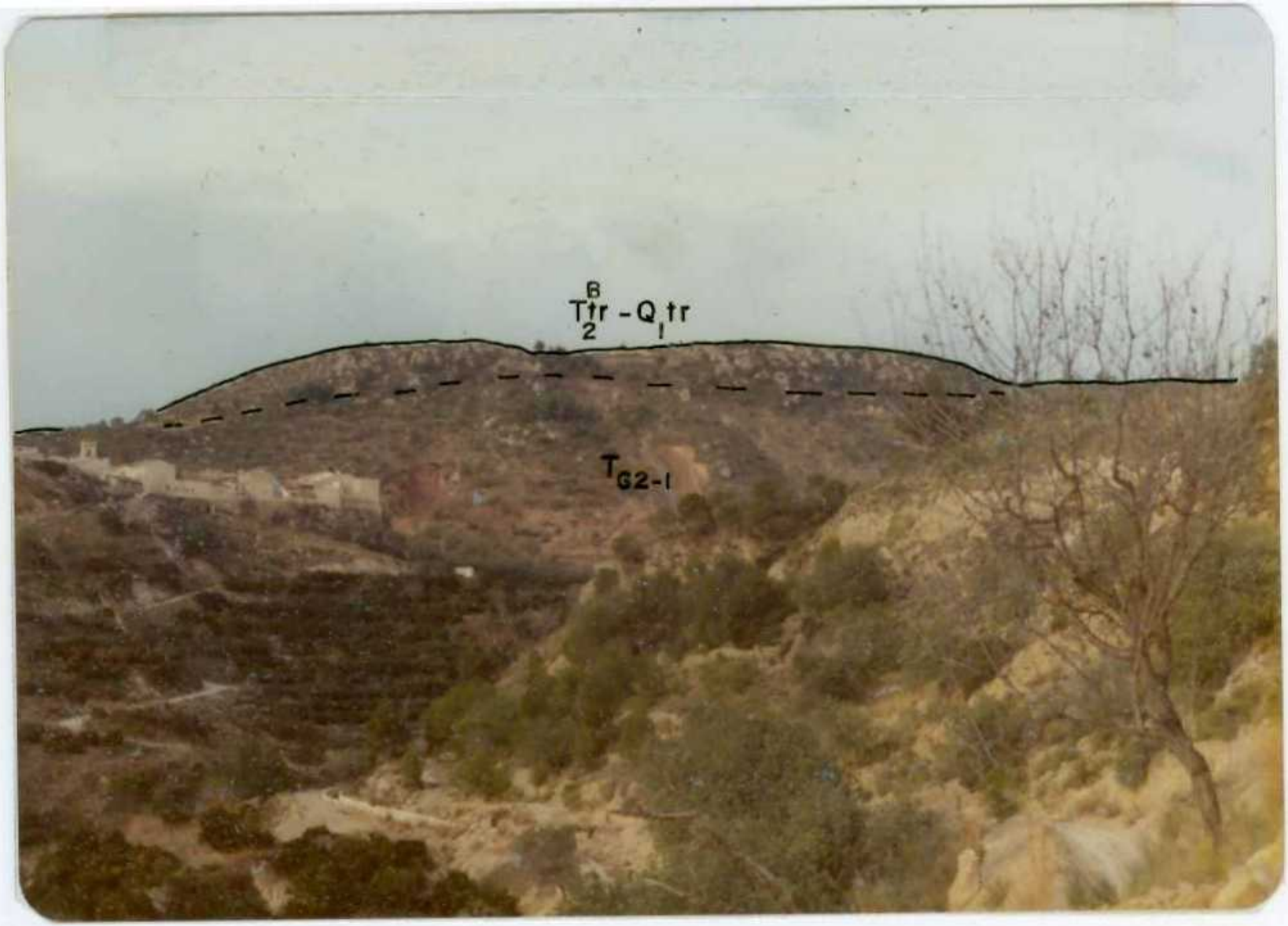


Fot.927-928.- Aspecto general y de detalle de las margas de base del Senonense C_{23}^{m}.



Fot.929.- Detalle de la brecha que aparece en la base del Retiense T_{A33}^{d}.



Fot. 901. Panorámica del Trias Medio-Superior, facies Keuper, sobre la que descansa la formación travertínica.



Fot. 902.- Detalle de la formación travertínica del Plio-Cuaternario. $T_2^{B}tr$- Q_1tr



Fot. 903.- Banco de conglomerados de cantos redondeados de la formación $T_1^{Bc}m$, del Mioceno Superior, el cemento es calcáreo y areno-arcilloso. Los cantos pueden llegar a 40 cm de diámetro.



Fot. 904.-Cambio lateral de la formación travertínica a limos con pasadas conglomeráticas.



Fot. 905.- Detalle del paso lateral de travertinos a margas travertínicas y margas. $T_2^B tr - Q_1 tr$



Fot. 906.- Conglomerados y areniscas de la formación del Helvetiense, T_{1-f1}^{Bb-Bc}.



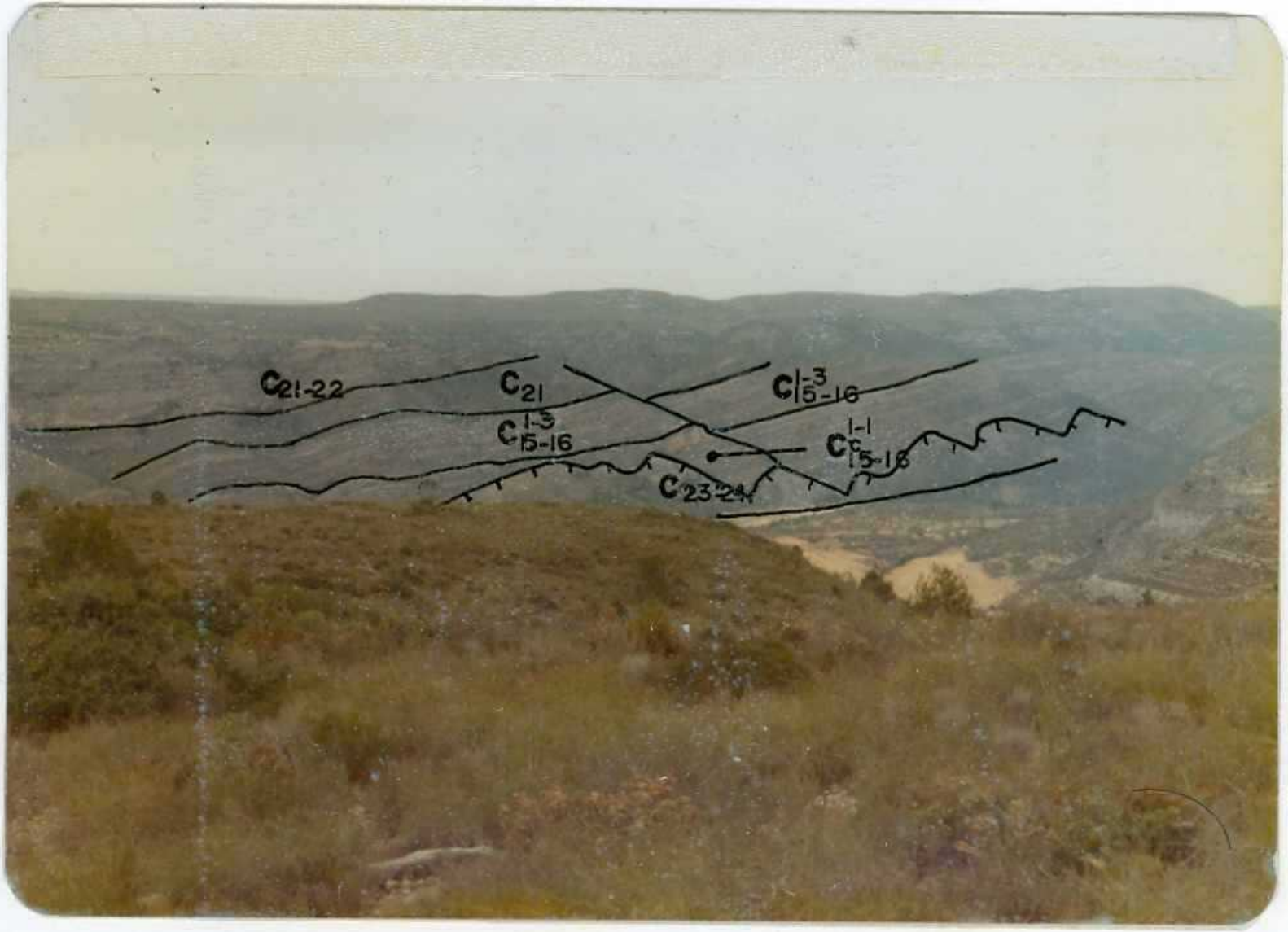
Fot.907.- Detalle de la anterior, donde se muestra el tamaño y grado de redondeamiento de los cantos.



Fot. 908.- Aspecto de las margas travertínicas del Plio-Cuaternario, en las que existen algunos niveles lumaquélicos de gasterópodos con "Melanopsis graellsi GRAELLS".



Fot. 909.- Sinclinal en las calizas del Senonense Inf. C_{23-24}. Fotografía tomada en una cantera.



Fot.910.- Vista general de las formaciones que se enumeran en la fotografía, tomada desde la carretera a Tous.



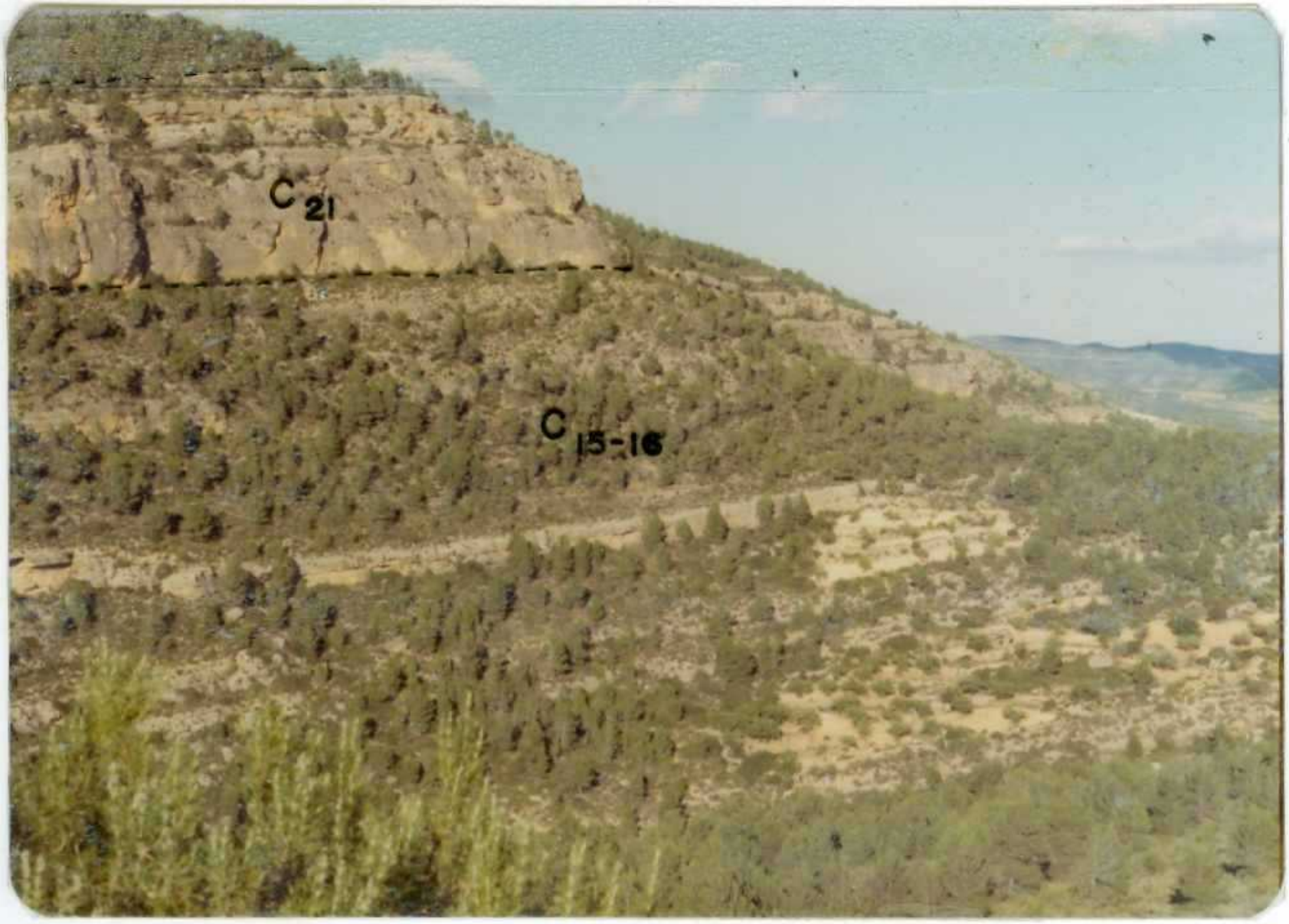
Fot. 911.- Detalle de las calizas arcillosas del Trias Medio, facies Muschelkalk T_{G2}^{Gd}, en la que se aprecian restos de conchas y huellas de reptación.



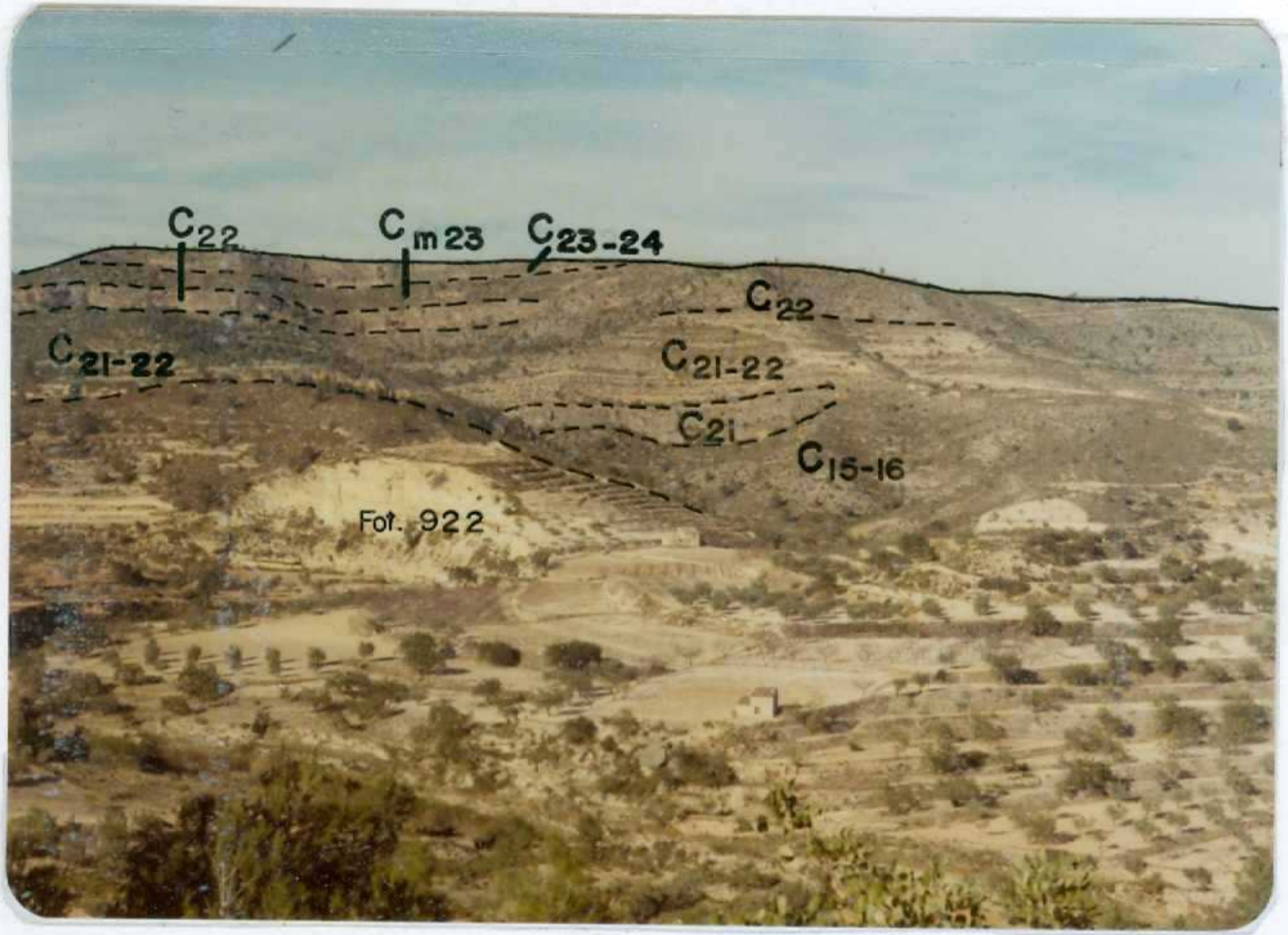
Fot. 912.- Slumping en alternancia de areniscas y carbonatos limonitizados del Trias Medio-Superior.



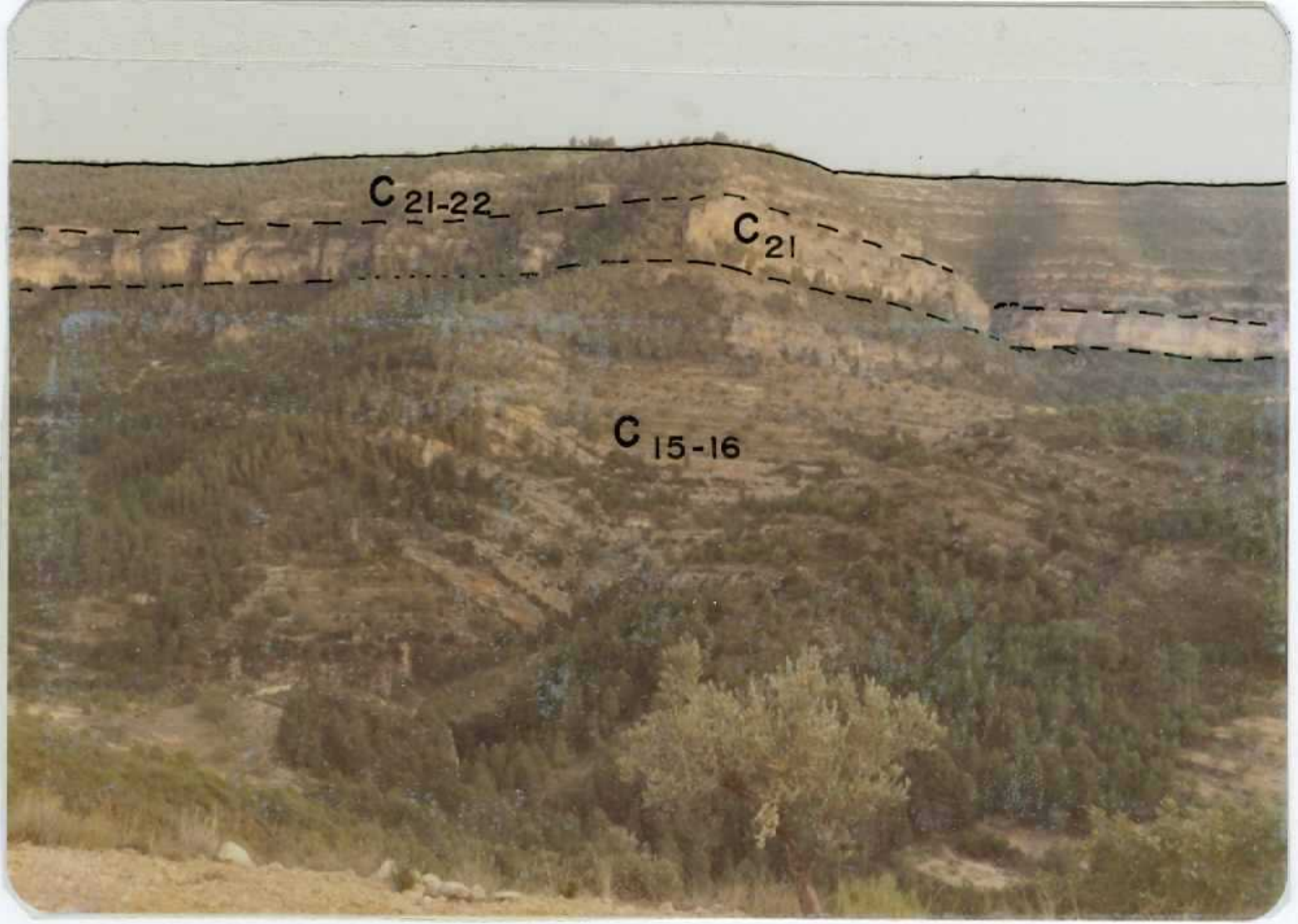
Fot.913.- Alternancia de lechos limoníticos y de carbonatos de fe. (siderita), con niveles de arenisca en la que se aprecian niveles de estratificación cruzada hacia la base de la foto,en rocas del Trias Medio-Superior.



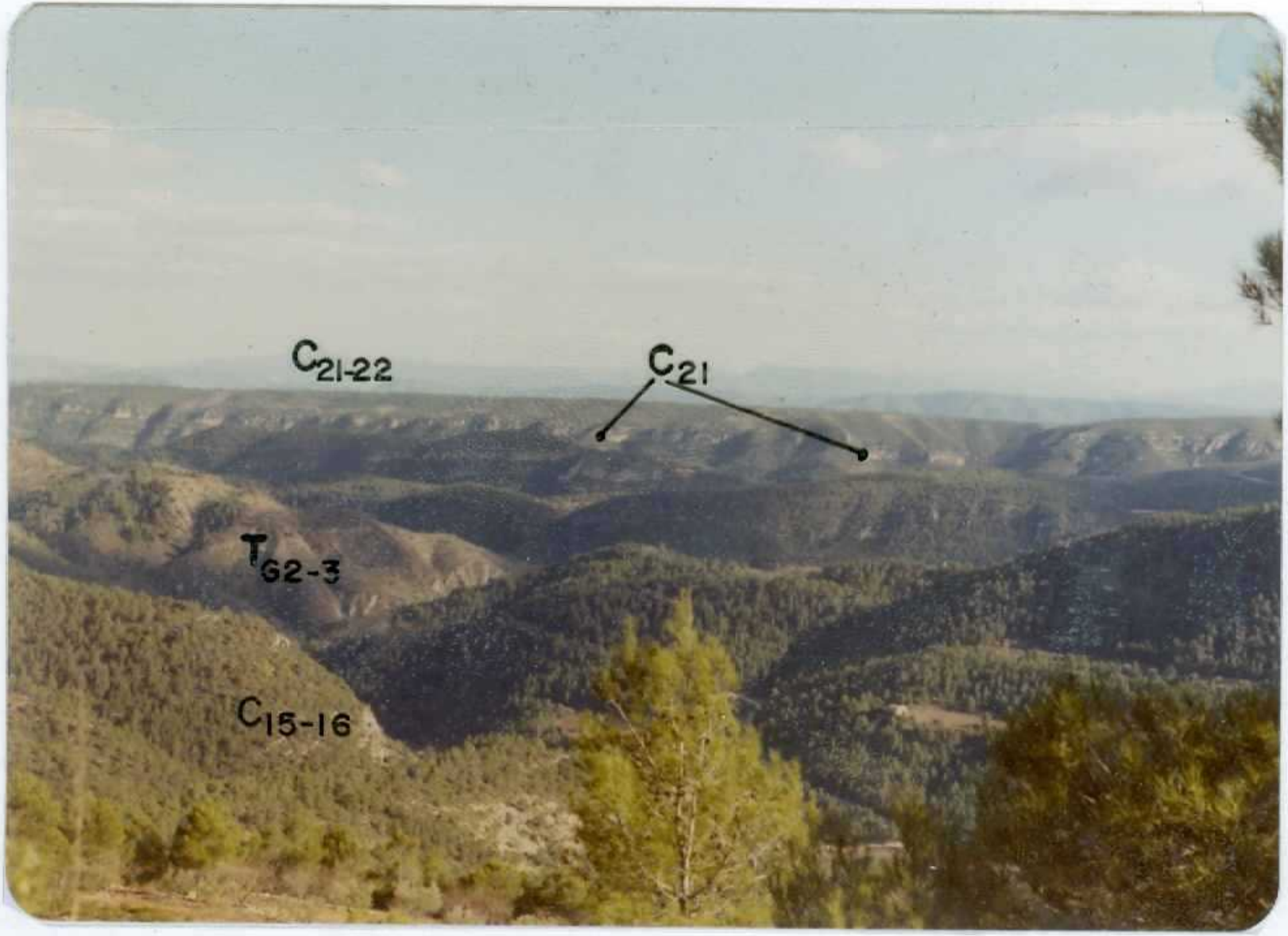
Fot.914.- Vista general de las formaciones del Albense y Cenomanense en la zona NW de la hoja.



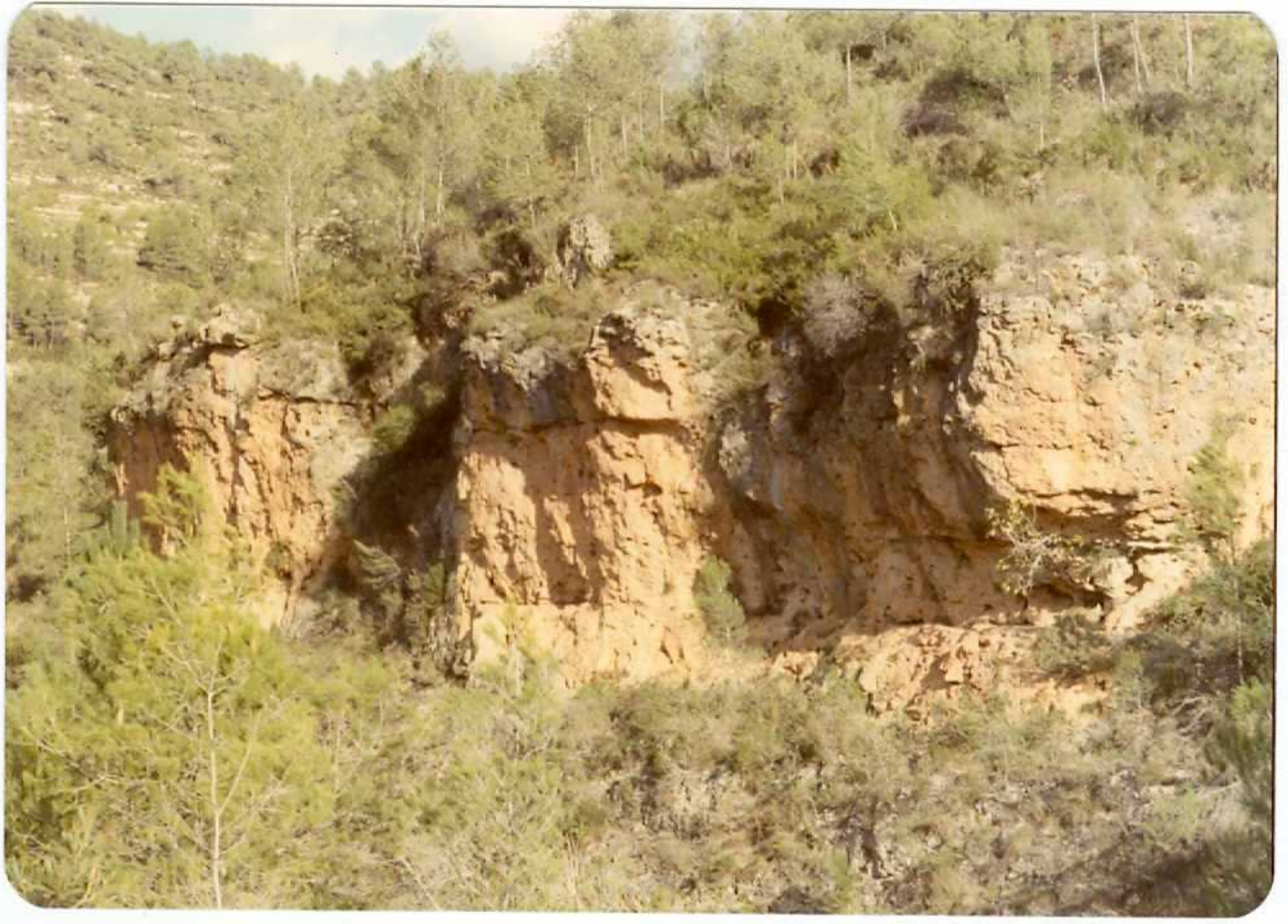
Fot.915.- Panorámica de las formaciones descritas en la fotografía, y aspecto del Mioceno Superior lacustre, con la situación de detalle de la fotografía 922.



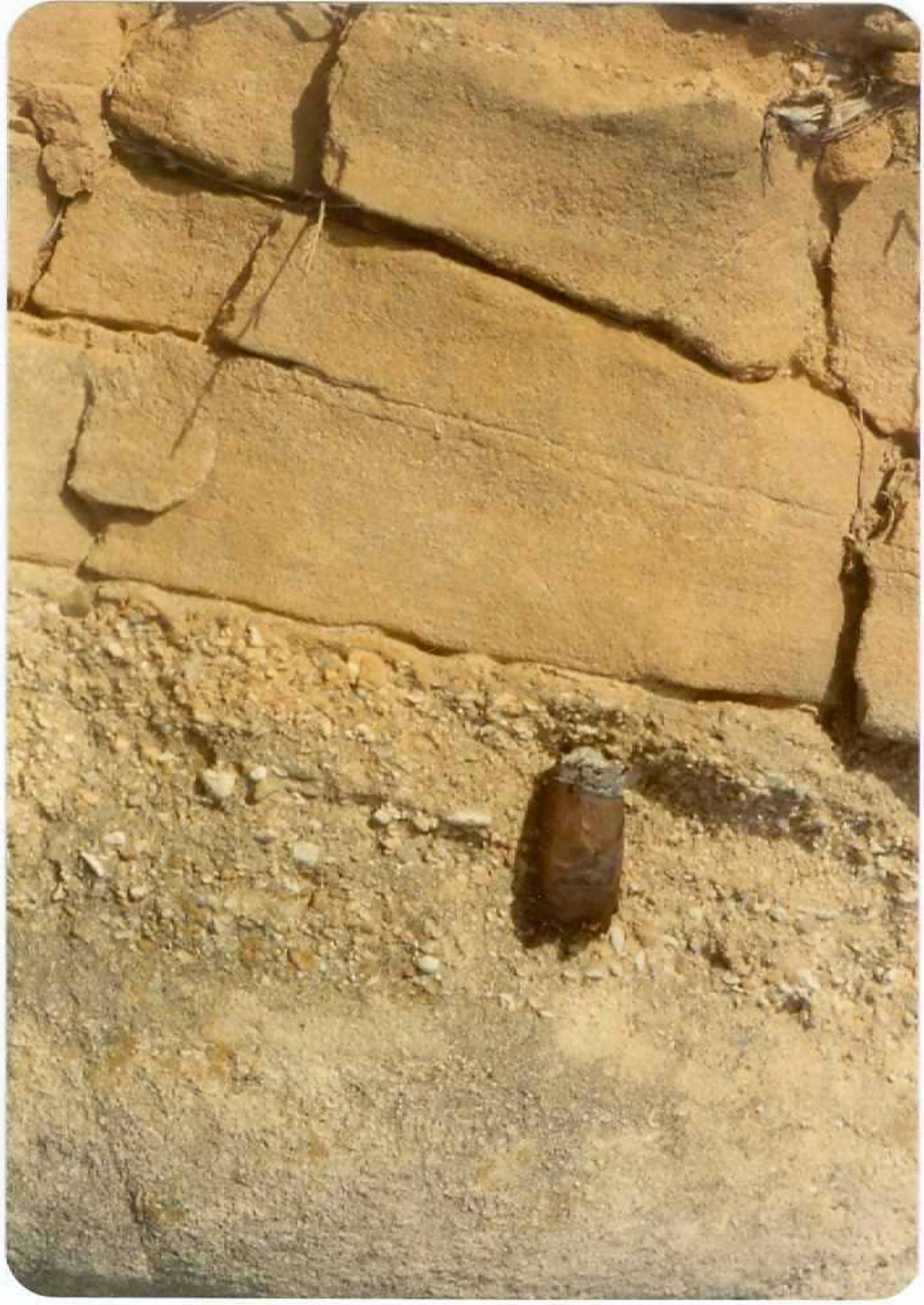
Fot.916.- Detalle de las formaciones del Albense C_{15-16}, en la que se aprecia la alternancia de zonas blandas y duras;el nivel de dolomía masiva del Cenomanense C_{21} y alternancia del Cenomano-Turonense C_{21-22}.



Fot.917.- Panorámica hacia el S de algunas formaciones.



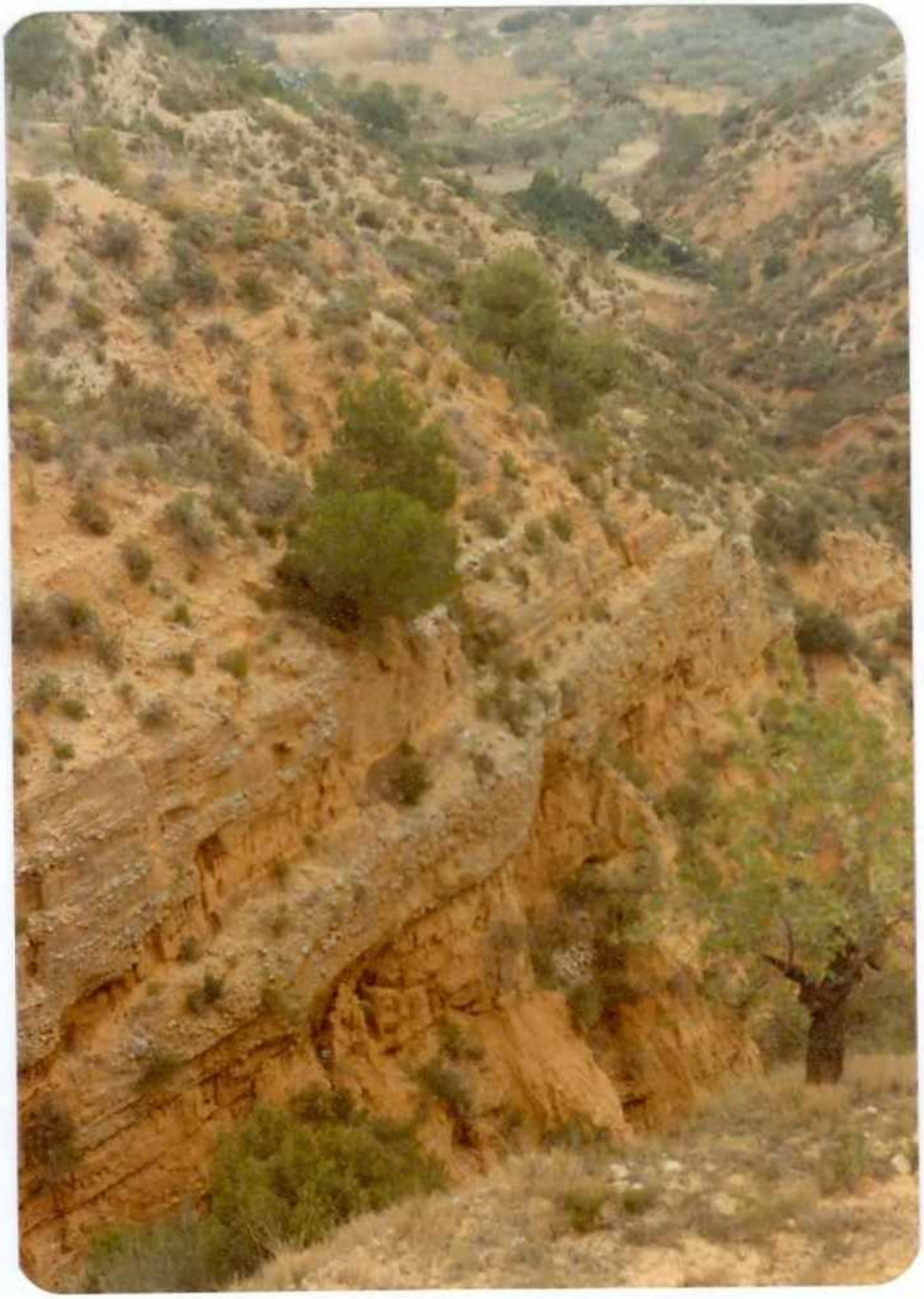
Fot.918.- Aspecto de detalle de la dolomía masiva del Cenomanense C_{21}^{d}.



Fot.919.- Estratificación cruzada y leve granoclasificación, en areniscas y microconglomerados del Mioceno Superior detrítico de Bicorp T_1^{Bc}.



Fot.920.- Arenas, conglomerados y areniscas en la parte alta del Mioceno Superior detrítico de Bicorp.



Fot.921.- Parte alta de la formación detrítica de Bicorp, se aprecian los conglomerados alternantes con zonas blandas de arenas y limos. En la parte alta aparecen las primeras facies blancas lagunares.



Fot.922.- Vista del Mioceno lacustre de Bicorp, en la que se puede apreciar un banco de conglomerados acuñándose hacia el centro de la cuenca Terciaria.



Fot.923.- Detalle de la fotografía anterior.



Fot.924.- Aspecto de algunos slumpings en las calizas arcillosas y margas, en el Mioceno Superior lacustre de Bicorp. Foto tomada detrás del pueblo citado.



Fot.925.- Pliegues disarmónicos de gravedad (slumping), en la parte alta del Mioceno lacustre de Bicorp.



Fot.926.- Parte alta del Mioceno Superior detrítico de Bicorp, en la cual la serie aparece verticalizada y sobre ella descansa una terraza cuaternaria antigua.



